3次元シェルモデル非弾性有限変位解析によるダムゲート横主桁の耐荷力特性の検討

- (独) 水資源機構 正会員 ○佐藤 信光 (独) 水資源機構 正会員 冨田 尚樹
- (独) 水資源機構 正会員 藤田 将司 (株) オリエンタルコンサルタンツ 正会員 大竹 省吾
- (株) オリエンタルコンサルタンツ 正会員 梅林福太郎 (独) 水資源機構 非会員 阿曽 浩

1. 目的

完成年が古い既設のダムゲートでは、現行の腹板 補剛設計規定 1)を満たさない横主桁を有するものが 一部存在する. 筆者らは, これまでに横主桁を対象 とし、耐荷力特性を明らかにするために載荷模型実 験等²⁾を行ってきた.本研究は,実際のダムゲート 横主桁に対して, 非弾性有限変位解析により耐荷力 特性の検討を行ったものである.

2. 対象構造物

対象構造物は S ダムの高圧ローラーゲートの横主 桁とした. 本構造は、片側に垂直補剛材を有する I 桁断面であり、断面変化を有する横主桁である. ま た, 垂直補剛材の板厚が現行規定を満たしていない.

 $t \ge a/13$

ここに, t:垂直補剛材の板厚(mm), a:垂直補剛 材の幅(mm)である.

構造図と材料条件を図-1、表-1 に示す. 本研究で は、実際の構造に加え、現行規定を満たした構造と 垂直補剛材の剛度が満たさない構造についても検討 を行った.

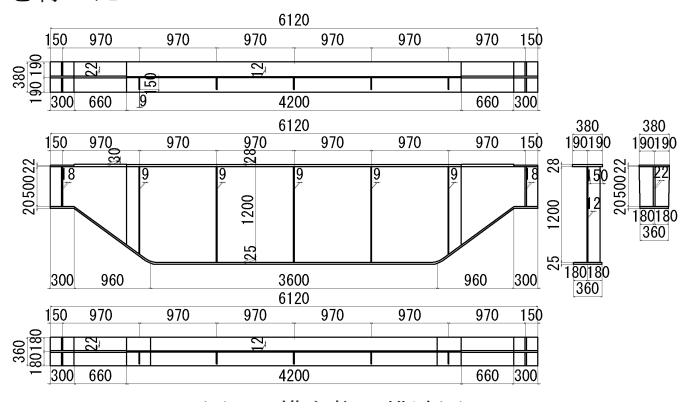


図-1 横主桁の構造図

表-1 材料条件

部材		材質	<u>降伏応力度</u> [N/mm ²]	
横主桁構成部材	腹板 上下流フランジ 垂直補剛材 スキンプレート	SS400	235	

3. 解析モデル

解析モデルを図-2 に示す. 横主桁 1 段を対象とし た部分モデルを作成した. 横主桁を構成する上下流 側フランジ,腹板,垂直補剛材及び,横主桁が支持 するスキンプレートをモデル化した.

4. 解析条件

本研究では、横主桁が有する耐荷力特性を求める 必要があるため、鋼材の局部座屈の評価が可能な非 弾性有限変位解析を適用した.表-2 に解析条件を示 す. ダムゲートの横主桁は、地震時に動水圧や慣性 力による等分布荷重が作用することを考慮し、制御 方法は分布載荷が可能な弧長増分法を適用して、静 的荷重漸増載荷を行った. また, 初期不整について は、線形座屈固有値解析により腹板の座屈 1 次モー ドを算定し、最大初期変形量が、腹板高の 1/250 とな るように設定した³⁾. ここで,解析コードの妥当性 については、別途載荷実験の再現解析を行い、再現 性を確認した.

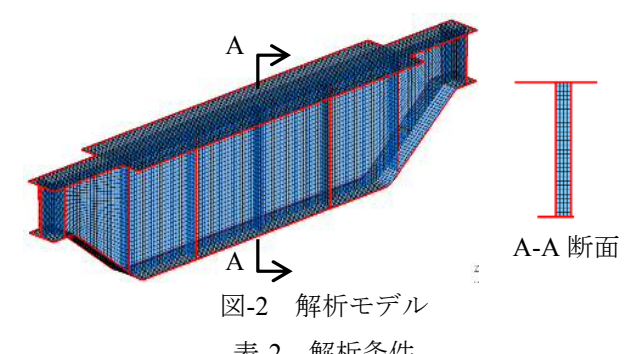


表-2 解析条件

項目	内容
解析コード	ABAQUS
解析方法	非弹性有限変位解析
使用要素	非線形シェル要素
応力ひずみ関係	バイリニア型 (2次勾配は初期勾配の1/100)
硬化則	移動硬化則
降伏条件	フォンミーゼスの条件
制御方法	弧長増分制御
初期不整	座屈固有値解析により算定
境界条件	可動、固定

キーワード ダム,鋼製ゲート,プレートガーダ,耐荷力,非弾性有限変位解析,座屈解析

連絡先 〒338-0812 埼玉県さいたま市桜区大字神田 936 (独)水資源機構総合技術センター TEL048-853-1785 本研究で実施した解析ケースを表-3 に示す. 対象 構造物は Case2 である.

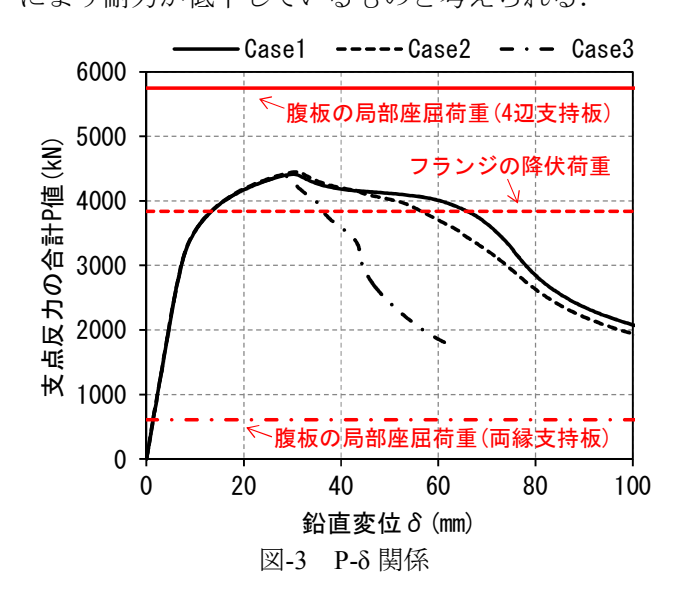
表-3 解析ケース

ケース名	概要	垂直補剛材	
	似安	幅(mm)	板厚(mm)
Case1	現行規定を満たしたケース	150	12
Case2	垂直補剛材の板厚が規定を満 たさないケース	150	9
Case3	垂直補剛材の剛度が規定を満 たさないケース(剛度比0.7)	85	8

5. 解析結果

各ケースの $P-\delta$ 関係を図-3 に示す。ここで、P は支 点反力の合計値であり、 δ は支間中央の鉛直変位を示す。また、同図には、腹板の局部座屈荷重(両縁支持板)、フランジの降伏荷重、腹板の局部座屈荷重(4 辺 支持板)を理論式より算定した結果も併せて示す。

同図より、いずれのケースも 3000kN 付近までは、 初期勾配に変化はなく,これ以上の荷重が作用する と緩やかに勾配が小さくなり、4400kN付近で最大荷 重に達している. このため、最大荷重はいずれのケ ースも同じである. 最大荷重後の低下勾配はケース によって異なっている. Case2 は、Case1 と比べてや や、早めに低下するものの、その差は小さいものと 考えられる. Case3 は、Case1 や Case2 に比べ、低下 勾配が大きいことが分かる. ただし, いずれもフラ ンジの降伏荷重よりも最大荷重が大きく, 腹板の局 部座屈荷重(両縁支持板)に比べ、十分に大きい. 腹板 の局部座屈荷重(4辺支持板)よりも、フランジの降伏 荷重の方が小さいこと, フランジの降伏荷重を超え た後に最大荷重に至り,荷重が低下することから, いずれのケースもフランジの降伏荷重を超えたこと により耐力が低下しているものと考えられる.



次に、各ケースの最大荷重時と最大荷重以降の荷 重低下後の変形を図-4 に示す. ここで、コンターは 相当塑性ひずみを示している.

同図より、いずれのケースも両側の腹板高の変化する位置のパネル(上下フランジと垂直補剛材で囲まれた腹板)内で塑性ひずみが大きくなっており、塑性ひずみの分布形状は同様の傾向を示していることが分かる.荷重低下後は、同パネルにおいて、塑性ひずみが大きくなり、腹板の面外方向の座屈変形が大きくなるとともに、同パネル位置の上フランジに塑性ヒンジが形成され、耐力が低下しているものと考えられる.Case3 においては、垂直補剛材の座屈も発生していることから、最大荷重後の低下の勾配が大きくなっているものと考えられる.

垂直補剛材が規定を満たさない横主桁においても, 十分な耐荷力を有しているものと考えられる.

6. まとめ

現行の腹板補剛設計規定を満たさないダムゲートの横主桁に対して、3次元シェルモデル非弾性有限変位解析を行った.解析の結果、規定を満たさないケースにおいても、最大荷重までは、規定を満たしたケースと同等の耐力が期待できることを確認した.

参考文献

- ダム・堰施設技術協会:ダム・堰施設技術基準(案), 2016.
- 2) 佐藤信光, 冨田尚樹, 阿曽浩: ダムゲートの耐震 性能照査における耐荷力特性の検討, 平成29年 度 ダム工学会 研究発表会・講習会, 2017.11.
- 3) 土木学会:座屈設計ガイドライン(鋼構造シリーズ 12), 2005.

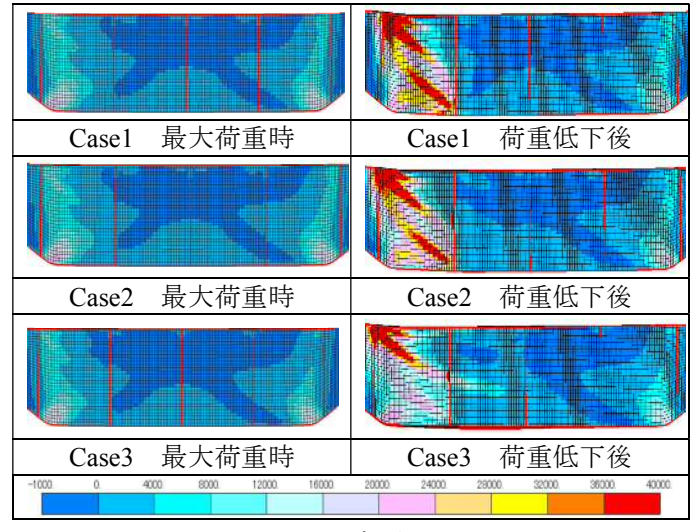


図-4 変形図